



**XVI МЕЖДУНАРОДНАЯ КОНФЕРЕНЦИЯ**  
**«МЕХАНИКА, РЕСУРС И ДИАГНОСТИКА МАТЕРИАЛОВ И КОНСТРУКЦИЙ»**  
**памяти академика Эдуарда Степановича Горкунова**

**ОСОБЕННОСТИ ПОВЕДЕНИЯ МАГНИТНЫХ ПАРАМЕТРОВ ПРЕДВАРИТЕЛЬНО  
ПЛАСТИЧЕСКИ ДЕФОРМИРОВАННОЙ КОРПУСНОЙ СТАЛИ 20ГН ПРИ УПРУГОМ  
ОДНООСНОМ РАСТЯЖЕНИИ**

Поволоцкая А.М., Мушников А.Н.  
ИМАШ УрО РАН, Екатеринбург, Россия

Работа направлена на изучение влияния предварительного деформирования растяжением до различных уровней пластической деформации в широком диапазоне (вплоть до 17,5 %) корпусной стали 20ГН на закономерности поведения ряда ее магнитных характеристик при последующем упругом одноосном растяжении с целью выявления характера наведенной таким силовым воздействием магнитной анизотропии, а также определения взаимосвязи гистерезисных и магнитострикционных свойств исследуемой стали в условиях упругого деформирования растяжением.

**Таблица 1. Механические характеристики исследованной стали 20ГН**

$\sigma_{0,2}$ , МПа	$\sigma_B$ , МПа	$\delta$ , %
450	550	25

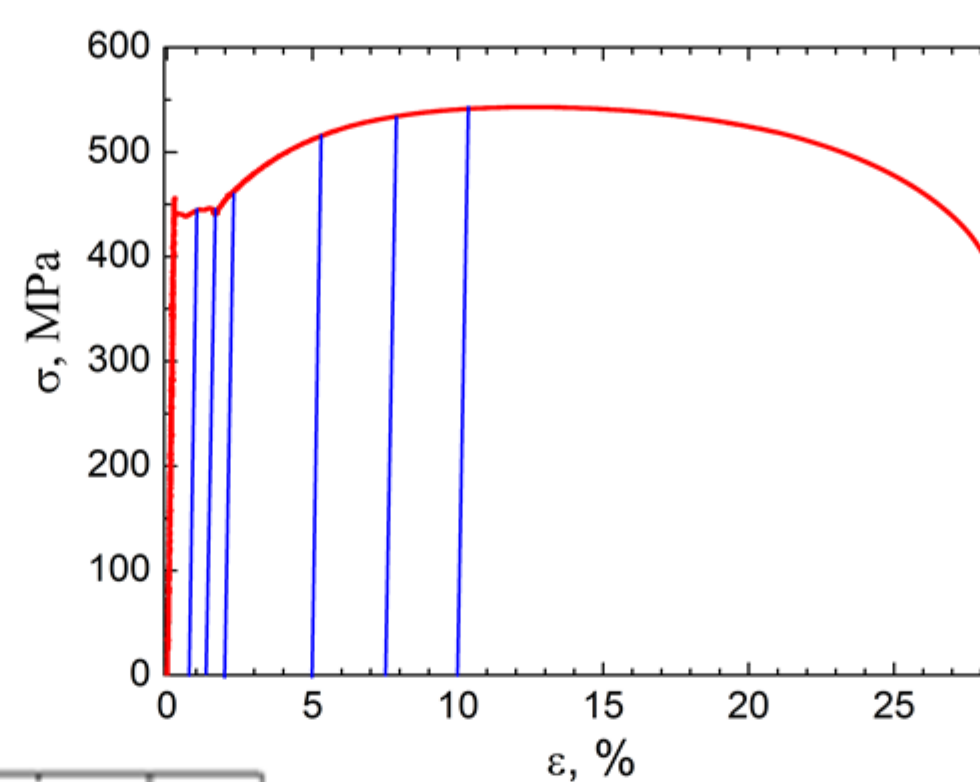


Рисунок 1 — Диаграмма нагружения стали.

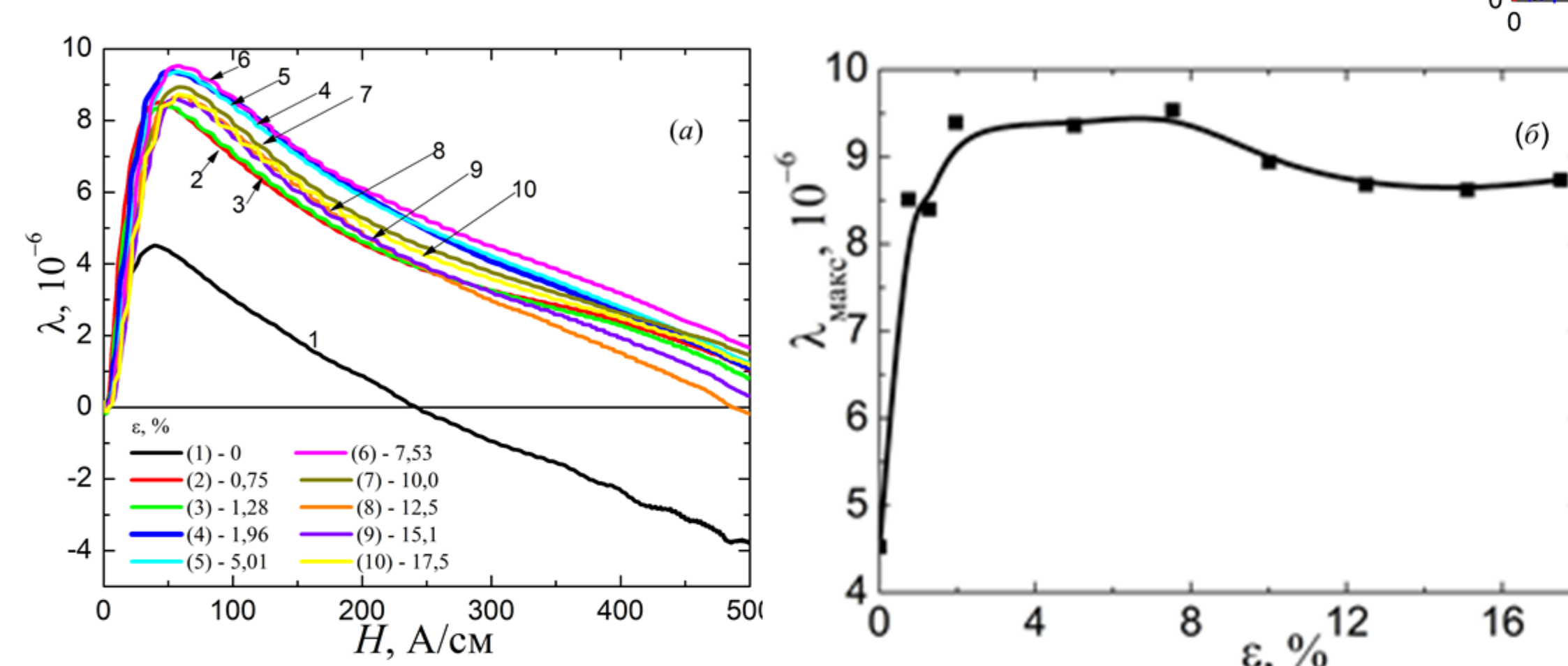


Рисунок 2. (а) – зависимости  $\lambda(H)$  образцов, пластически деформированных на различные степени: кривая 1 –  $\varepsilon = 0$ ; 2 – 0,75; 3 – 1,28; 4 – 1,96; 5 – 5,01; 6 – 7,53; 7 – 10; 8 – 12,5; 9 – 15,1; 10 – 17,5 %; (б) – зависимость  $\lambda_{\max}(\varepsilon)$ .

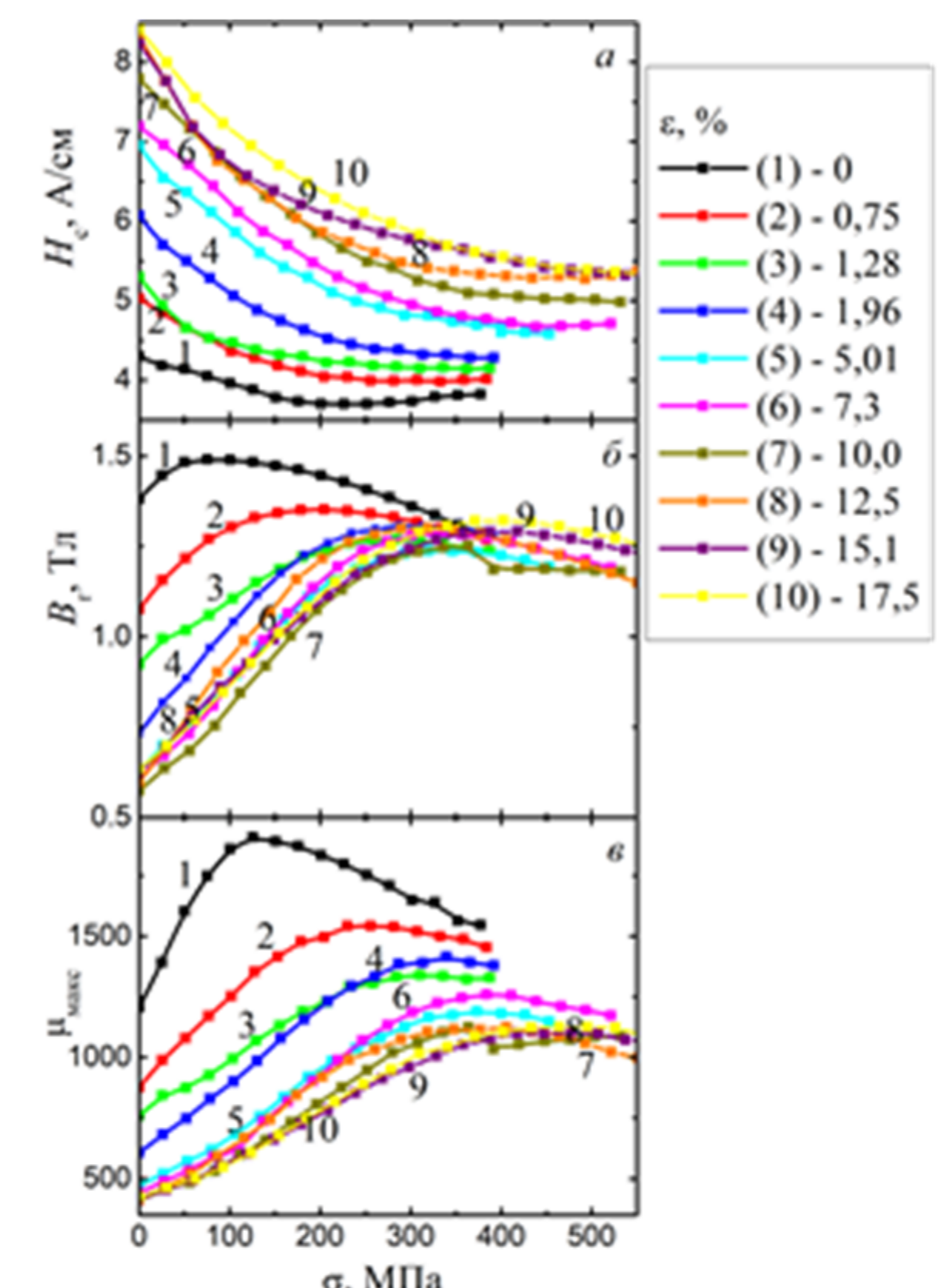


Рисунок 3 – Зависимости от приложенных растягивающих напряжений значений коэрцитивной силы (а), остаточной индукции (б) и максимальной магнитной проницаемости (с), измеренных на образцах, предварительно пластически деформированных на различные степени.

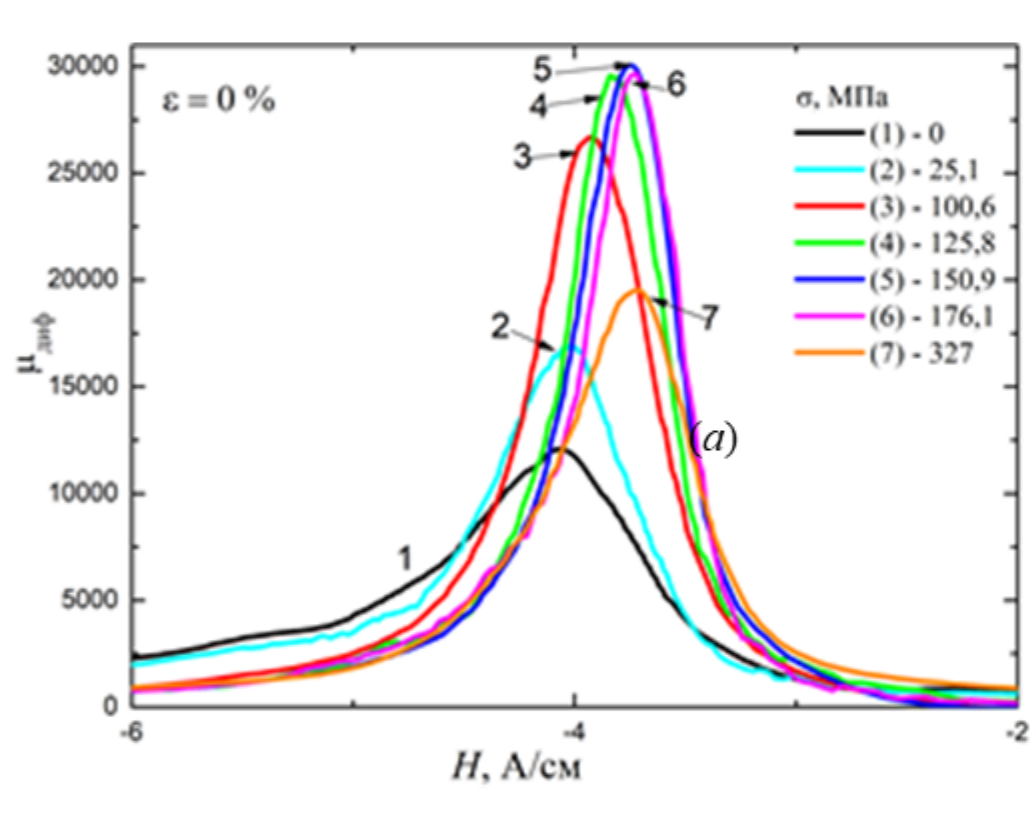


Рисунок 4 – Зависимости  $\mu_{\text{dif}}(H)$  для образца с  $\varepsilon = 0$  при различных  $\sigma$ .

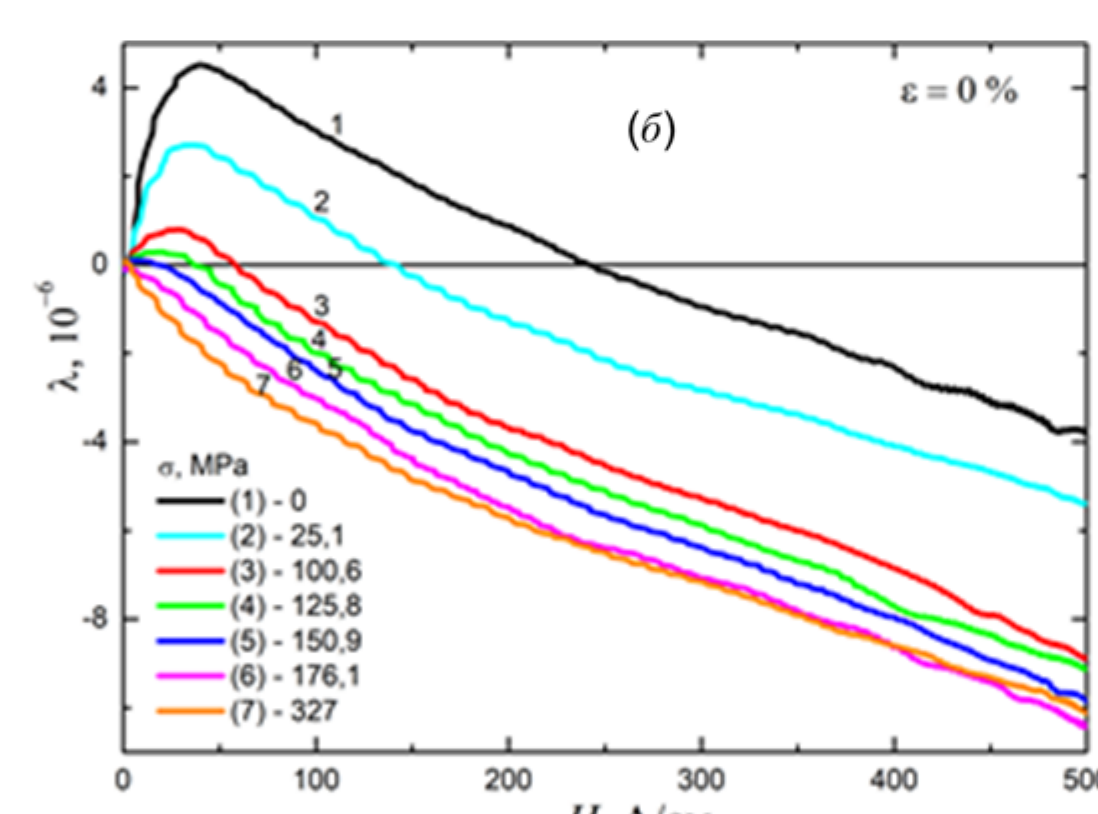


Рисунок 5 – Зависимости  $\lambda(H)$  для образца с  $\varepsilon = 0$  при различных  $\sigma$ .

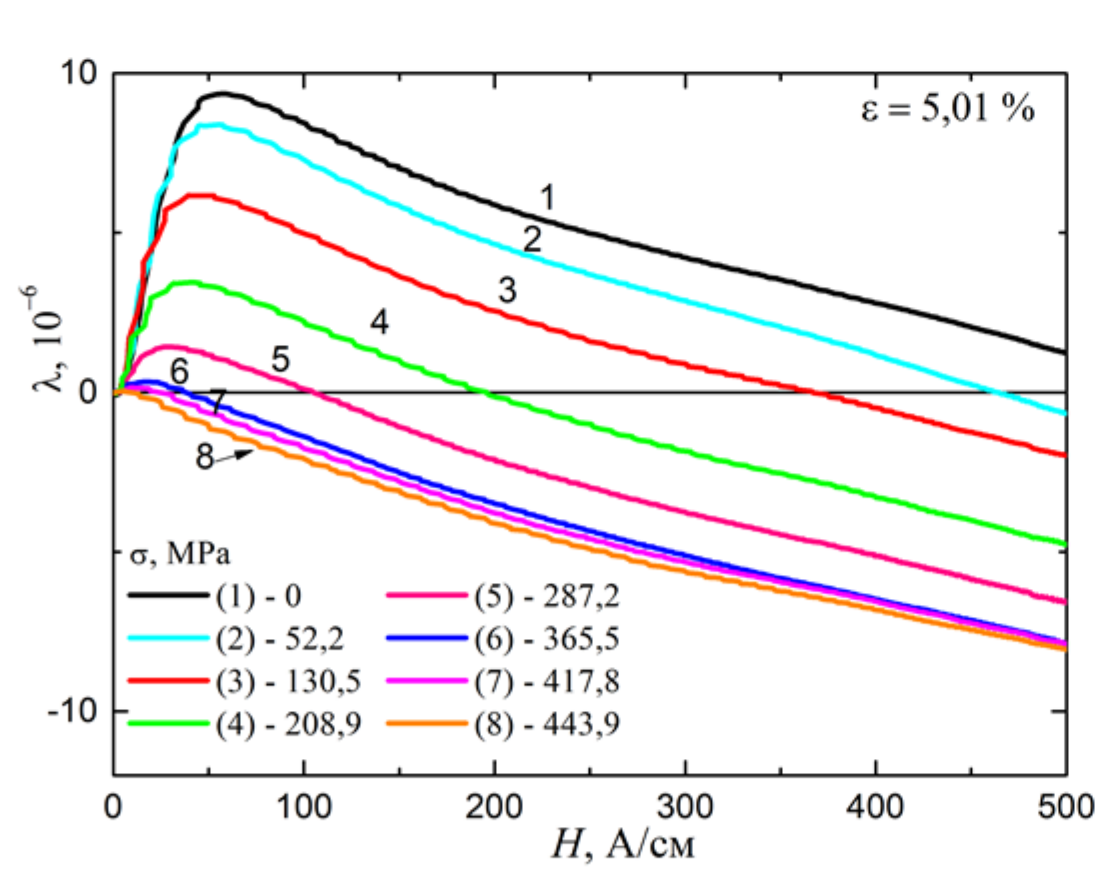
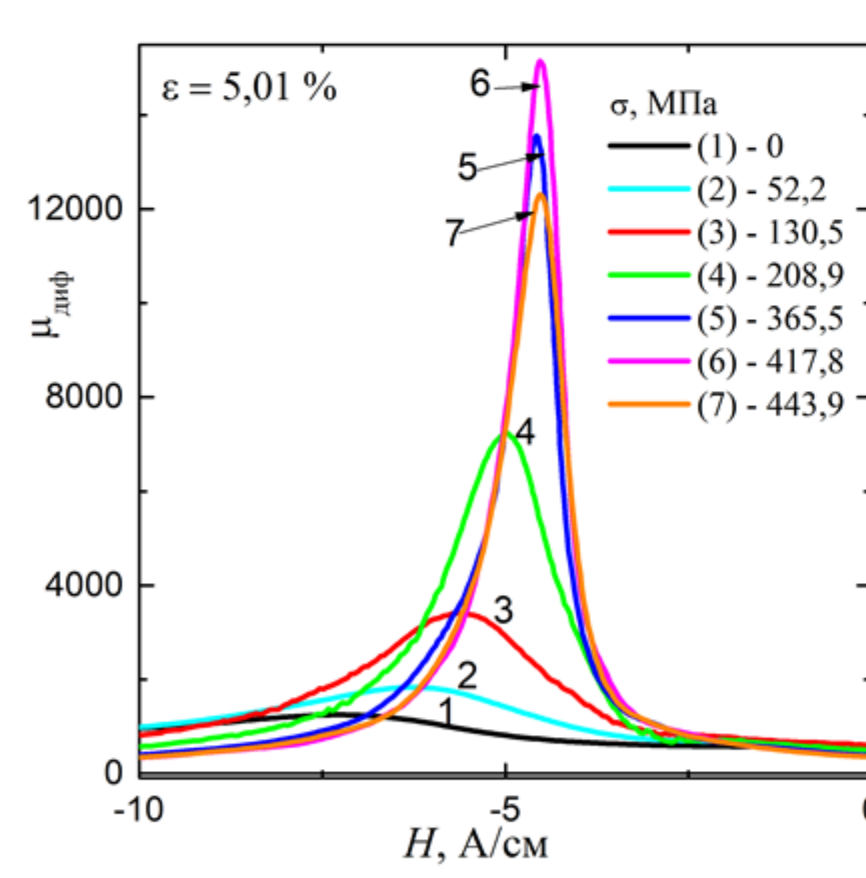


Рисунок 6 – Зависимости  $\mu_{\text{dif}}(H)$  (а) и  $\lambda(H)$  (б) при различных  $\sigma$  для образца, пластически деформированного на степень  $\varepsilon = 5,01$  %.

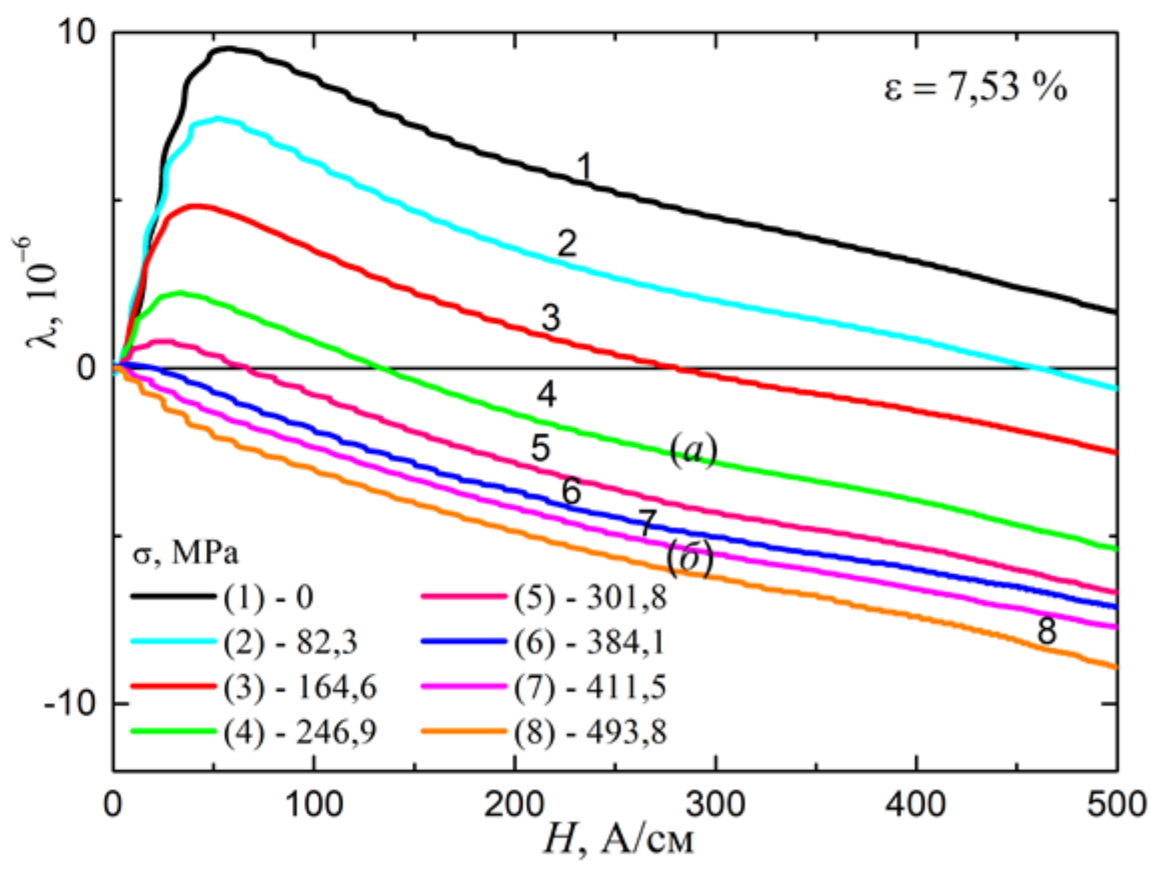
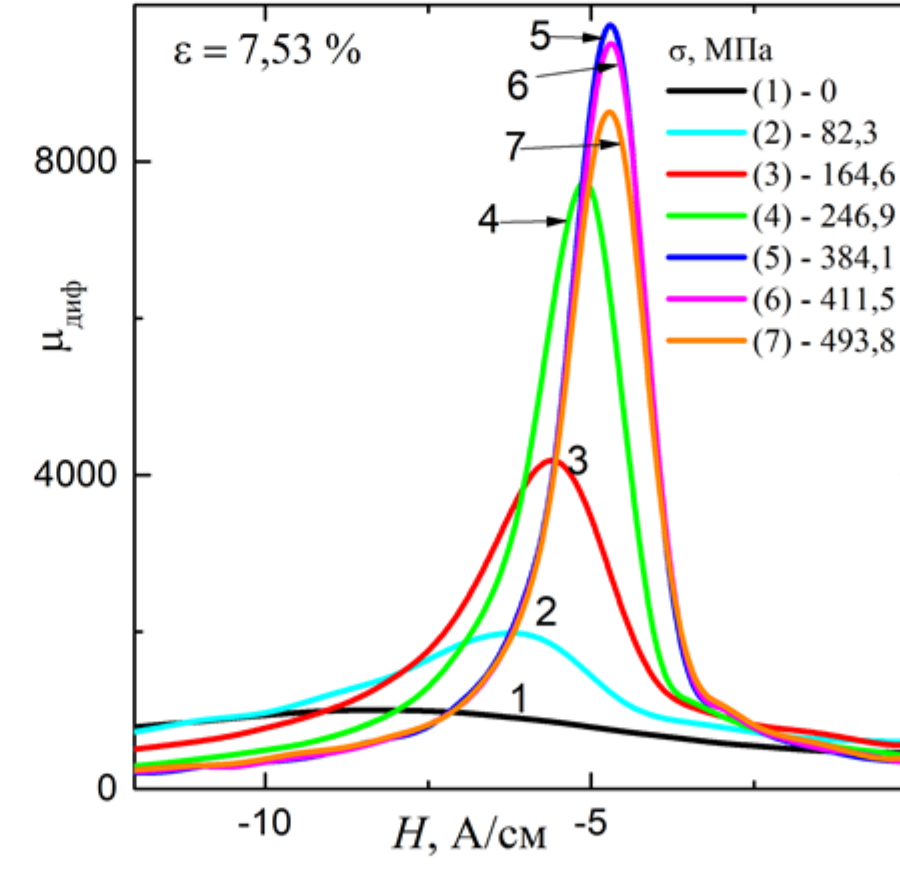


Рисунок 7 – Зависимости  $\mu_{\text{dif}}(H)$  (а) и  $\lambda(H)$  (б) при различных  $\sigma$  для образца, пластически деформированного на степень  $\varepsilon = 7,5$  %.

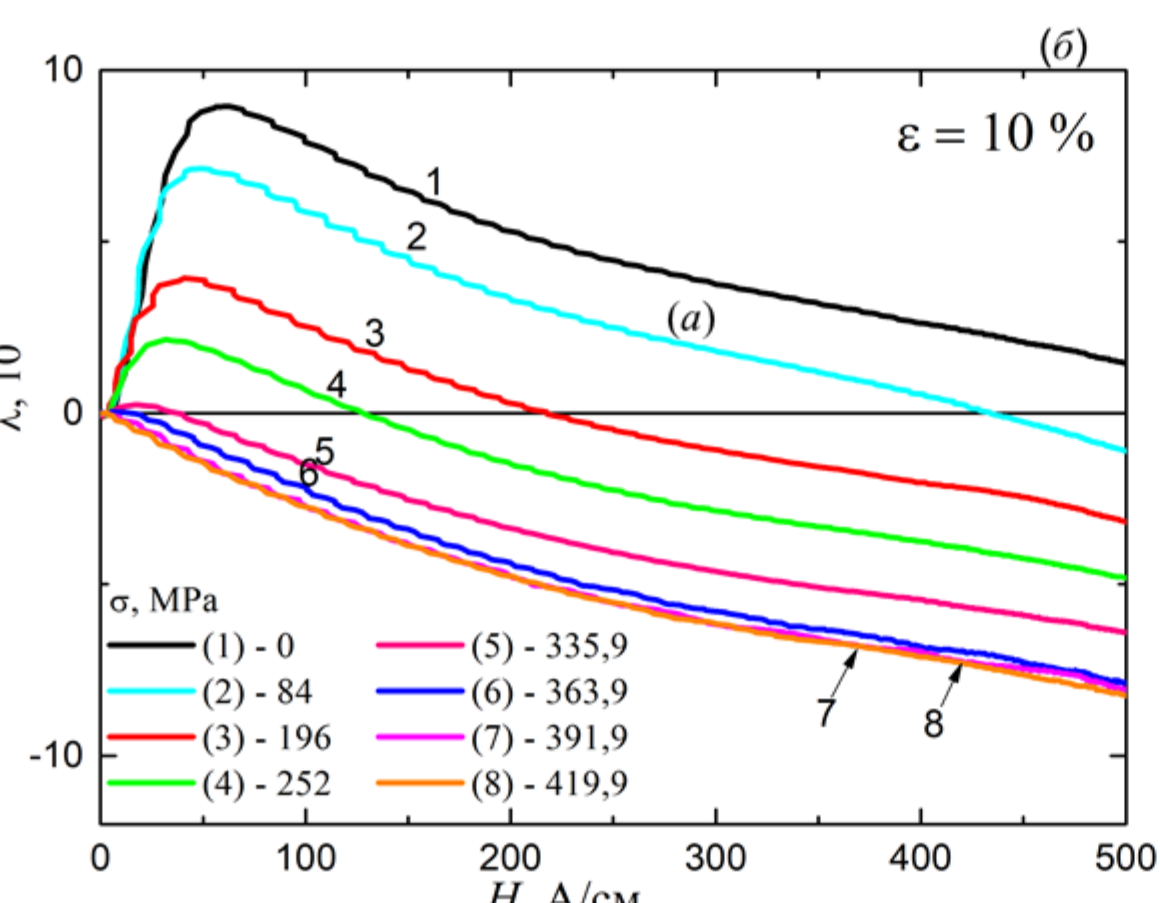
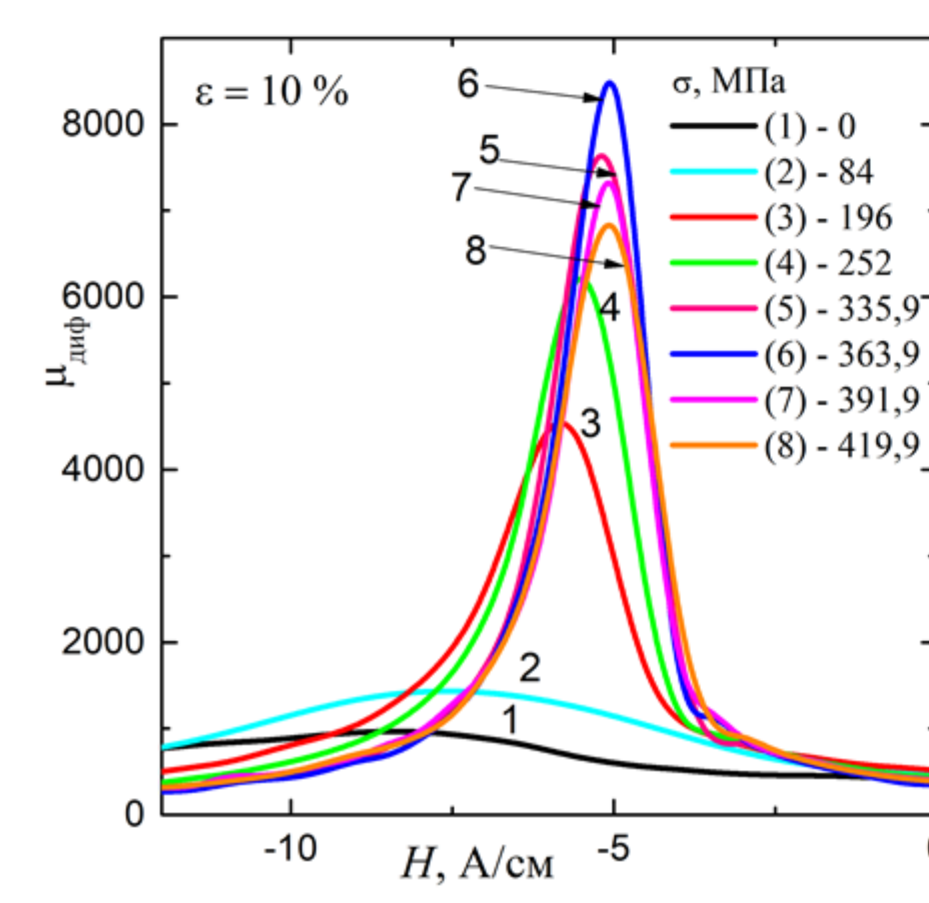


Рисунок 8 – Зависимости  $\mu_{\text{dif}}(H)$  (а) и  $\lambda(H)$  (б) при различных  $\sigma$  для образца, пластически деформированного на степень  $\varepsilon = 10$  %.